

ハミング符号に基づくカラー画像の認証と復元に関する研究

福江 勇希^{*1}, 熱田 清明^{*2}

Study on Authentication and Restoration of Color Image based on the Hamming Code

by

Yuki FUKUE^{*1} and Kiyooki ATSUTA^{*2}

(Received on March 29, 2013 & Accepted on July 25, 2013)

Abstract

Image authentication method using Hamming code for gray scale image which can recover tempered region has been proposed. However, this method sometimes misses estimating the most significant bit of tempered pixels, so the recovered image is not so good quality. In this paper, we extend this method to color images. Furthermore, we embed the most significant bit and parity bits of two color components at three color components of the color image. According to our experimental results, our new proposed method can effectively eliminate tempered region, and can recover two color components of the tempered region pixels using the most significant bit and parity bits which are embedded and estimate remaining color component by using around pixel's data.

Keywords: Hamming Code, Image Authentication, Image Restoration

キーワード: ハミング符号、画像認証、画像復元

1. はじめに

近年の情報技術の発展により、電子書籍などの新しい媒体があらわれ、デジタル情報のやり取りは増え続けている。それと同時に、インターネット上に公開された動画や静止画像は、不特定多数のユーザーに二次利用され、改ざんされることも多くなっている。また、改ざんされたコンテンツはさらに改ざんされ、広く出回ることによって、元々のコンテンツと照らし合わせて改ざんの有無を確認することは難しくなっている。この問題を解決する方法に、電子透かしを用いた方法が提案されている¹⁾。しかしながら、改ざんの有無、改ざんされた箇所までは検出できるが、元の画像に戻すことまではできない。この問題に関して、グレースケース画像に対して、ハミング符号を用いて、画像データのパリティ情報を埋め込み、改ざん領域の検出・復元が可能となる方法が提案されている²⁾。しかしこの方法にも、復元時の誤推定などの問題点がある。そこで本研究の目的はこの手法をカラー画像に拡張し、R、G、B 3成分の2成分についてパリティビット、および最上位ビットを埋め込み、残りの1成分は周囲の推定済みの画素より推定することにより、より精度の高い復元を行う方法を提案することである。

2. 理論

2.1 ハミング符号

ハミング符号とは自己訂正符号の1つである。ハミング符号は2ビットまでのビット誤りを検出でき、1ビットのビット誤りを修正することができる³⁾。

(7, 4)ハミング符号では画像の1画素のデータである8ビットの上位4ビットをデータビット(D_1, D_2, D_3, D_4)とし、下位3ビットにパリティビット(P_1, P_2, P_3)を埋め込むものとする。したがって下位から4ビット目は使用しない。その関係をFig.1に示す。また、パリティビットは式(1)によって定められる。ここで \oplus は1ビットの排他的論理和を示す。

$$\begin{aligned} P_1 &= D_1 \oplus D_2 \oplus D_4 \\ P_2 &= D_1 \oplus D_3 \oplus D_4 \\ P_3 &= D_2 \oplus D_3 \oplus D_4 \end{aligned} \quad (1)$$

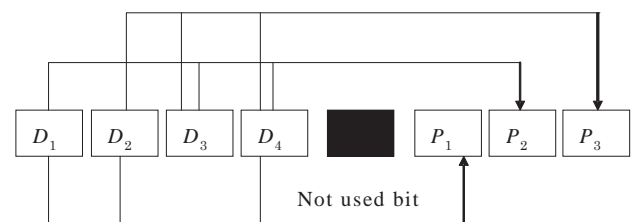


Fig.1 Data bits and parity bits in pixel data.

2.2 トーラス自己同型写像

ハミング符号によって作成した3ビットのパリティデータを元の画素の下位3ビットに保存した場合、

*1 工学研究科情報理工学専攻 修士課程
School of Engineering, Course of Information
Science and Engineering, Master's Program

*2 情報通信学部情報メディア学科 教授
School of Information and Telecommunication
Engineering, Department of Information Media
Technology, Professor

改ざんが行われた際に、改ざんが行われた画素のデータビットとパリティビットの両方が失われるため、認証および修正が困難になる。この問題を解決するために、上位4ビットのデータ情報と3ビットのパリティ情報を異なる座標の画素に配置する。また、改ざん領域を復元することを考えると、データ情報の画素とパリティ情報を埋め込む座標の画素が1対1の関係になければならない。そのために、トラス自己同型写像を用いる⁴⁾。

トラス自己同型写像はサイズ $N \times N$ の画像に対して、ある画素 (x_i, y_i) を他の画素 (x'_i, y'_i) に1対1に対応させることができる。 k を秘密鍵となる整数とし式(2)で定義される。ここで mod は剰余を示す。

$$\begin{bmatrix} x'_i \\ y'_i \end{bmatrix} = \begin{bmatrix} 1 & 1 \\ k & k+1 \end{bmatrix} \begin{bmatrix} x_i \\ y_i \end{bmatrix} \text{mod } N \quad (2)$$

具体的に各 (x'_i, y'_i) を求める式は式(3)となる。

$$\begin{aligned} y'_i &= (x_i + y_i) \text{mod } N \\ x'_i &= (k \times (x_i + y_i) + y_i) \text{mod } N \end{aligned} \quad (3)$$

2.3 パリティビットの回転

2.2 節で述べたトラス自己同型写像で用いる秘密鍵 k は N の値によって制限され、 $k=0,1,2,3,4,\dots,N-1$ までしか存在しない。したがって、この N 個の秘密鍵を試すことで、 k の値を特定することができる。文献 2) では、この問題を解決するためにパリティビットの順番を回転させて暗号化している。

ビット回転は式(4)で定義される。 k_2 を二番目の秘密鍵とする。そして $R_1, R_2, \dots, R_{N \times N}$ のように、 $N \times N$ 個の乱数系列を、 k_2 を初期値とする疑似乱数により作成する。次に i 番目の画素のパリティ3ビットの順序 $J=1,2,3$ を次式に従って J' に変換する。また、 M はパリティビットのビット数すなわち3となる。

$$J' = (J + R_i) \text{mod } M \quad (4)$$

2.4 排他的論理和による暗号化

2.3 節のパリティビットの回転による暗号化では、パリティビット3ビットが000または111である場合、ビット回転を行っても変化がないため、このビットパターンをもつ画素のみを用いて秘密鍵 k の推定が可能であることがわかった。よって本手法では従来のビット回転ではなく、式(5)のように乱数系列との排他的論理和を用いてパリティビットを暗号化する手法を用いる。

$$P' = (P \wedge (R_i \text{ mod } 2^M)) \quad (5)$$

ここで、 P はパリティビット列を示し、 \wedge はビット毎の排他的論理和を表し、 M はパリティビットのビット数すなわち3となる。これによりパリティビットは暗号化され、秘密鍵 k の推定に対する耐性が向上する。また、再度同じ乱数系列との排他的論理和を求めることで復号することができる。

3. 埋め込み・認証・復元方法

3.1 埋め込み手順

パリティビットを埋め込む手順は、ハミング符号によるパリティビットの作成、トラス自己同型写像による埋め込み位置の算出、パリティビットの排他的論理和による暗号化および埋め込みの順に行う。具体的には、各画素に対して以下のように埋め込みを行う。

- ① ハミング符号を用いてパリティビットを作成する。
- ② 鍵 k_2 を初期値とする疑似乱数系列で生成した3ビットとパリティビットの排他的論理和を求める。
- ③ 画素の位置 (x_i, y_i) と秘密鍵 k を用いてトラス自己同型写像により埋め込み画素 (x'_i, y'_i) を求める。
- ④ 求めた埋め込み画素の下位3ビットを②で求めた3ビットに置き換える。

3.2 画像の認証

画像の認証すなわち雑音による濃度値の変化や改ざんが行われていない証明は以下のように行う。

各画素に対して、暗号鍵 k を基にトラス自己同型写像により、パリティビットを埋め込んだ画素位置を求めて、下位3ビットを取り出し、暗号鍵 k_2 を基に同じ疑似乱数を発生させ排他的論理和により、復号化する。画素の上位4ビットからハミング符号によりパリティビット3ビットを求める。これらの3ビットが全画素において一致する場合、改ざん等が行われていない画像であることが認証される。

3.3 画像の復元

画像の認証に失敗した場合、すなわちデータビットとパリティビットの整合性が取れない画素が存在する場合、その原因には雑音がある環境と改ざんの2つが考えられる。雑音がある環境とはデータがインターネット上などで伝送される時、雑音の影響を受けてデータビットにエラーが発生することである。改ざんとは故意に画像の改ざんが行われ、特定の領域のデータが書き換えられ、失われてしまうことである。雑音によるものか改ざんによるものかの判定は、雑音による不整合な画素の分布で簡単に判定することができる。雑音による場合はランダムで、画像全体にまばらに分布するが、改ざんによる場合は、ある部分にまとまって発生する。

3.3.1 雑音がある場合

雑音がある場合についてはハミング符号によって復元が可能である。

Fig.2 は、データビット ($D_1 \sim D_4$) とパリティビット ($P_1 \sim P_3$) の関係を示したものである。この3つのサークル内での1ビットの数は常に偶数になるようにパリティビットが定められている。Fig.3 にはビットエラーが1つある。サークル A に属する値 0,1,1,1

の1のビット数は3となりサークルAに属する値にエラーが存在することがわかる。同様にサークルB、Cの値も計算をおこなうと、1のビット数が奇数になるのはサークルAとサークルBなのでこの2つのみ属する D_1 がエラーであることがわかり値を反転することによって、復元が可能となる。

もしパリティビットにエラーが生じた場合は、そのパリティビットを含むサークル1つだけが奇数になる。この場合、画質的には修正の必要はないが、再度の配信を行う場合などを考え、誤ったパリティビットを修正する。

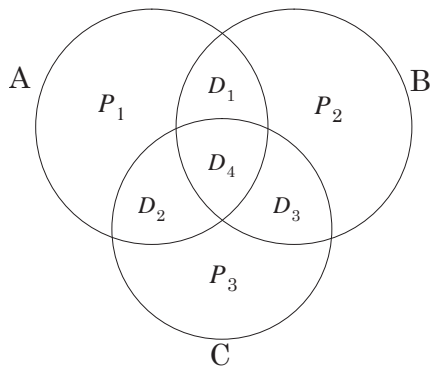


Fig. 2 Relation between data bits and parity bits.

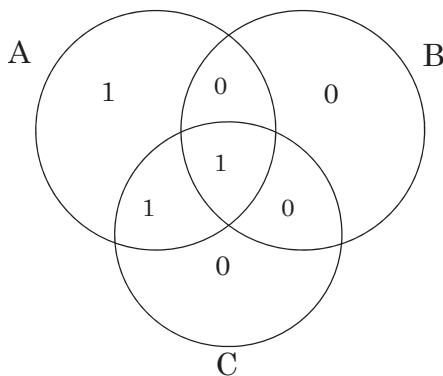


Fig. 3 An error occurs in D_1

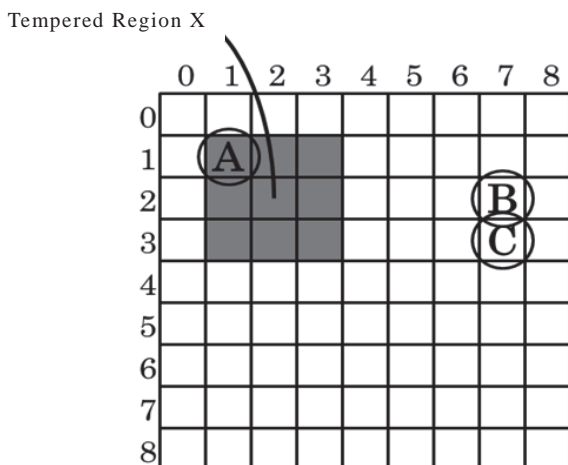


Fig.4 An example for tampered regions

3.3.2 改ざんが行われた画像の場合

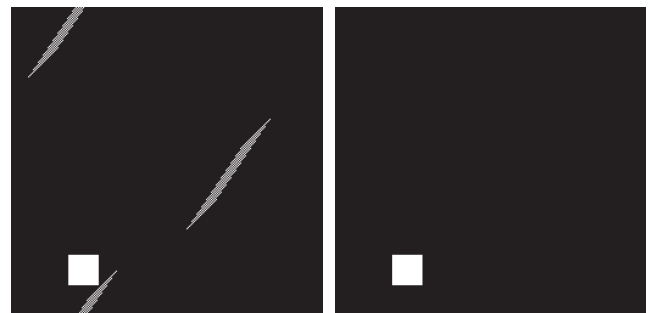
改ざんが行われた画像の場合、改ざんは一定の領域に行われ、集中してエラーが生じることになる。この場合、最初に改ざんされた領域を特定する必要がある。Fig.3におけるグレーの領域Xを改ざんされた領域とし、画素Aがこの領域に属すと仮定する。このとき、AのパリティビットはBに埋め込まれており、CのパリティビットはAに埋め込まれる。

画素Aは改ざんされているので、そのデータビットから算出されたパリティビットは画素Bに埋め込まれたものとは異なる。したがって、このとき、AまたはBのどちらかが改ざんされたと判断できる。パリティビットを画素Aに埋め込んでいる画素Cについても、同様のことが言える。すなわち、CまたはAにどちらかが改ざんされたと判定される。このようにしてA,B,Cが改ざん候補となる。

このプロセスをすべての画素について行い、すべての改ざん候補画素を検出する。Fig.4では領域Xに改ざんが行われているので、この領域のすべての画素が改ざん候補となっている。その他の改ざん候補画素は、まとまった領域を作らず、分散して存在する。分散した領域を除去するために、改ざん候補の画素に対して形態学的画像処理すなわち収縮処理と膨張処理を行う。

3.2.4 形態学的画像処理による改ざん領域の特定

改ざん領域の特定のために形態学的画像処理を用いる。ここでの形態学的画像処理とは2値画像に対する収縮処理と膨張処理のことである。収縮処理の後に膨張処理を行うことにより、孤立点や突起を取り除くことができる⁵⁾。各処理を1回ずつ行うと、2画素分の画素領域は取り除くことができ、それより大きい画素領域は残る。Fig.5(a)に改ざん画素の候補を示し、図Fig.5(b)に収縮・膨張処理により求めた改ざん領域を示す。



(a) Candidate of tempered region (b) Estimated tempered region

Fig.5 Estimation of tempered region

3.2.5 ハミング符号による復元

3.2.4項の手続きにより、改ざんされた画素が特定できる。次の手続きはこの改ざんされた画素を復元する。

Table 1にデータビットとそれに対応するパリティビットの対応表を示す。このTable 1を見ると、デー

タビットの最上位ビットが0または1によって2つのグループに分ける事ができる。そして最上位ビットが0、または1である事が判明すると、パリティビットからデータビットを推定することができる事が表から読み取れる。

データビットの最上位ビットを判定する方法は以下の通りである。

画像の場合、もし最上位ビットが1であれば、その輝度値が128以上であることになり、最上位ビットが0であれば、輝度値が128よりも低いことになる。したがって、周囲画素から画素の大きな輝度値を推定できれば、その値が128以上であれば最上位ビットを1とし、128未満であれば0として、データビットの復元が行える。

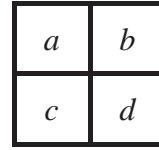


Fig.6 Arrangement of pixels for equation (6).

画素Aの右隣の画素は画素Aの推定値と左上、上の画素から推定することができる。これを順次繰り返して改ざん領域内の画素の値を推定していく。しかしながら、改ざん領域内にエッジが存在した場合、非線形推定では、最上位ビットの推定に失敗することがある。

Table 1 The Hamming code word.

Data bits		Parity bits
MSB	Remain 3bits	
0	000	000
0	001	111
0	010	011
0	011	100
0	100	101
0	101	010
0	110	110
0	111	001
1	000	110
1	001	001
1	010	101
1	011	010
1	100	011
1	101	100
1	110	000
1	111	111

3.2.6 非線形推定

改ざん領域の左上から非線形推定⁹⁾を行って対応画素の最上位ビットを求める。Fig.4において画素Aが改ざんされている。この場合、改ざんされていない左、左上、上の画素から非線形推定を用いて推定する。この非線形推定は次式で定義される。すなわち、画素値 d をその近傍の3つの画素値 a, b, c で推定する。Fig. 6 に画素位置と a, b, c, d の対応関係を示す。

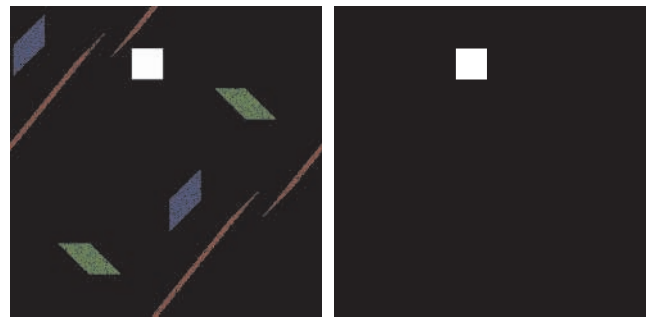
$$d = \begin{cases} \min(a, b) & \text{if } c \geq \max(a, b). \\ \max(a, b) & \text{if } c \leq \min(a, b). \\ a + b - c & \text{otherwise.} \end{cases} \quad (6)$$

3.3 カラー画像の復元方法

この方法を各成分に単独に適用することによって、カラー画像にも拡張可能であるが、最上位ビットの推定を誤ると復元画像の画質が著しく劣化するという欠点があるまま残されてしまう。そこで、カラー画像が3成分から構成されることを利用して、改善方法を以下に提案する。

3.3.1 カラー画像の改ざん領域特定

カラー画像の場合には、Fig.7に示すようにそれぞれの成分でトラス自己同形写像に異なる鍵 k_R, k_G, k_B を用いることで、RGB各成分の改ざん領域候補座標を照合し、簡単に改ざん領域候補が重複している座標を改ざん領域として特定することが可能であり、より信頼性の高い改ざん領域の検出ができる。



(a) Candidate of tempered region. (b) Estimated tempered region.

Fig.7 Determine the tempered region.

3.3.2 カラー画像に対する改ざん領域の復元

カラー画像はRGBの3成分で構成されている。RGBの3成分の下位3bitに復元用のデータを保存することが出来る。例えばR成分の下位2ビットにG成分とB成分の最上位ビットを保存し、G成分の下位3ビットにG成分のパリティビットの乱数との排他的論理和により暗号化したデータを保存し、B成分の下位3ビットには、B成分のパリティビットの暗号化したデータを保存する。このように下位3ビットに2成分の最上位ビットとパリティビットの情報を保存することにより、G成分とB成分の2つの成分を完全に復元できる。すなわち上位4ビット

のデータが正確に復元できる。同様に、R成分とG成分、R成分とB成分が完全に復元できる画素を設定することができる。RG、GB、RBを完全に復元できる画素を Fig.8 のように配置する。行ごとにRG成分を復元できる画素、GB成分を復元できる画素、BR成分を復元できる画素の順にずらしながら繰り返し配置されている。このように画素を配置することによって、ある画素において復元できない成分は、その画素の左、左上、上、右、右下、下の6画素では復元されているので、それらから推定して復元することができる。例えば Fig.8 の中央画素の場合、R成分とG成分は復元でき、B成分が復元できないが、左、左上、上、右、右下、下の6画素はB成分が復元されている。したがって、これらの値を用いて推定することができる。したがって、3.2.6項で述べた非線形推定による最上位ビットの推定を行わないので、エッジ部分の誤推定がなくなり、エッジ領域の改ざんも復元できる。

GB	RB	RG
RB	RG	GB
RG	GB	RB

Fig.8 The pattern of embedded two color components.

3.3.3 提案手法におけるカラー画像復元の流れ

この手法を用いた画像に改ざんが行われた場合に対するカラー画像の復元の復元は以下のように行う。

- ① Fig.8 のパターンとR、G、B成分用のトーラス自己同型写像の鍵 k_R, k_G, k_B を用いて、暗号化されたパリティビットと最上位ビットを埋め込んだ画素を求める
- ② 排他的論理和用の k_2 によって、生成された疑似乱数系列を用いて、パリティビットを排他的論理和により復号化する。
- ③ データビットとパリティビットが対応しない画素をチェックし、2成分で対応しない画素を改ざんされた領域とする。
- ④ 改ざん領域の画素に対して、パリティビットと埋め込まれていた最上位ビットにより、2成分のデータビットを求める。
- ⑤ 改ざん領域の全画素について復元できる2成分を求め、残りの1成分を周囲6画素から推定する。ここでは上下左右の4画素の成分の単純平均を用いて推定する。

4. 実験

4.1 実験画像

実験で扱う画像は 256×256 [pixels]の各色256階調のカラー画像 Parrots とする。Fig.9 に実験に用いた画

像を示す。



Fig.9 An original image(Parrots).

4.2 従来手法によるパリティビットの埋め込み

従来手法をカラー画像に行う場合、R、G、B成分それぞれで鍵 k_R, k_G, k_B を用いてパリティビットを埋め込む。Fig.10 にパリティビットを埋め込んだ画像を示す。



Fig.10 The authenticated image by original method.

4.3 画像復元

4.3.1 改ざん画像

復元の実験を行うため、Parrots 画像に改ざんを行った。Fig.11 に改ざん画像を示す。今回、改ざんは指定された領域をネガポジ反転することで作成した。



Fig.11 The tampered image.

4.3.2 改ざん領域の特定

カラー画像のRGBの成分毎にハミング符号の一致しない領域を求め、2成分以上が一致しない領域を改ざん領域とした。Fig.12 に改ざん領域の特定結果を示す。

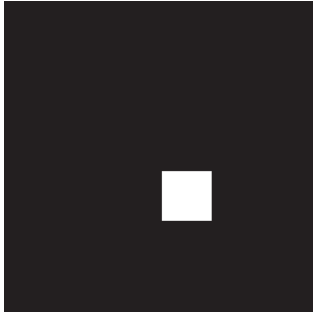


Fig.12 Estimated tampered region.



Fig.15 The image corrected by our proposed method.

4.3.3 従来手法による復元

従来の手法をそのまま3成分に適用して、改ざん領域を非線形予測とパリティビットによって復元する。復元した画像を Fig.13 に示す。非線形推定は左上から行うので、改ざん領域において左上と右下の濃淡値の差が激しいエッジでは値の推定がうまくできない。そのため、赤の成分において、エッジ部分で最上位ビットの推定を誤り、正しく復元ができていないため、本来黄色になる部分が緑色のままになってしまったことがわかる。



Fig.13 The image corrected by original method.

4.4 提案手法

2成分のパリティビットとその最上位ビットを埋め込む提案手法による埋め込みと復元を行った。埋め込み画像を Fig.14 に、提案手法により復元した画像を Fig.15 に示す。この提案手法によって、エッジ部分での誤推定がなくなり、黄色の領域が正しく復元されていることがわかる。



Fig.14 The authenticated image by our proposed method.

4.5 PSNR による画質の評価

4.5.1 PSNR (Peak Single to Noise Ratio)

PSNR とは客観的な画像評価の指標の一つである。画像評価の基準値であり、値が大きくなればなるほど原画像に近いことを表す。まったく同じ画像であれば ∞ (無限大)となる。PSNR は下記の式で表される。

$$PSNR = 10 \log \frac{(\text{階調数}-1)^2}{\frac{1}{N * N} \sum_{y=0}^{N-1} \sum_{x=0}^{N-1} (src(y,x) - dst(y,x))^2} \quad (7)$$

単位はデシベル[dB]となり、ここで x,y はピクセルの位置、 src は原画像 dst は評価対象の画像、 N は画像の大きさを表す。

4.5.2 PSNR による画像評価

原画像に対する従来手法による埋め込み画像、改ざん画像、復元画像の PSNR を Table 2 に示す。R成分の最上位ビットの誤推定により、R成分の PSNR がほとんど改善されていないことがわかる。

Table 2 PSNR of images for original method.

	The authenticated image	The tampered image	The image corrected by original method
R	37.83[dB]	18.71[dB]	20.80[dB]
G	37.92[dB]	21.31[dB]	33.50[dB]
B	37.82[dB]	18.04[dB]	30.00[dB]

原画像に対する提案手法による埋め込み画像、改ざん画像、復元画像の PSNR を Table 3 に示す。埋め込み画像の画質もパリティビット3ビット2成分と2つの最上位ビットと1ビット少ない埋め込みとなったため、1[dB]ほど向上していることがわかる。また、復元画像も1成分は周囲からの推定であるが、2成分は正確に復元できるため、大幅に PSNR 向上していることがわかる。

Table 3 PSNR of images for our proposed method.

	The authenticated image	The tampered image	The image corrected by proposed method
R	39.01[dB]	18.72[dB]	38.63[dB]
G	39.12[dB]	21.32[dB]	38.80[dB]
B	39.01[dB]	18.04[dB]	38.52[dB]

4.6 未決定色成分の推定方法の比較

以上の評価は上下左右の4画素の単純平均により未決定の色成分の値を推定しているが、隣接画素中の6画素を用いることもできる。また前述の3画素からの非線形推定を用いることもできる。そこで、これらの推定方法による復元を行い、画質の違いをTable 4に示す。3画素しか用いない非線形推定は急激な値の変化に対応できないこともあり、一番画質が低い。6画素の単純平均は、4画素の単純平均に比較して若干の低下がみられる。これらの画質や計算量の点から、最近傍の4画素を用いる方法で十分であるといえる。

Table 4 Compare of image quality by estimation method.

	Non-Liner estimation	Estimation form 4 pixels	Estimation form 6 pixels
R	37.98[dB]	38.63[dB]	38.49[dB]
G	38.52[dB]	38.80[dB]	38.69[dB]
B	38.18[dB]	38.52[dB]	38.42[dB]

5. 結論

本研究では、白黒画像に対する方法をカラー画像に拡張し、復元精度を向上させることを目的とした。

従来のビット回転では自己同形写像の鍵 k の推定が容易であるという問題点は、排他的論理和を用いることで解消され、秘密鍵の推定に対する耐性が向上した。

目的であるカラー画像における復元精度の向上については、3成分の内2成分の最上位ビットとパリティビットの情報を3成分の下位ビットに埋め込むことにより、2成分を非線形推定に頼らず正確に復元し、2成分の組み合わせ、配置を工夫することにより未決定の成分を上下左右の4画素から線形推定する方法を提案して、その有効性を実験的に示した。また、未決定の色成分の推定には上下左右の4画素の単純平均を用いることで十分な効果が得られることを実験的に示した。

今後の展望としては非可逆圧縮等の各種画像処理に対する耐性の検証が今後の課題として残されている。

謝辞

本研究は JSPS 科研費 23500130 の助成を受けたものである。

参考文献

- 1) 須藤正之、三井靖博、“改ざん検出可能な電子透かし”、沖電気研究開発 2000 年 7 月第 183 号 Vol.67No.2,2000.
- 2) Chi-Shiang Chana, and Chin-Chen Chang “An efficient image authentication method based on Hamming code” Pattern Recognition 40(2007), 681-690, 2008/01/29.
- 3) R.W. Hamming, “Error detecting and error correcting codes”, Bell Syst. Tech. J., 26 (2) (1950), pp. 147-160.
- 4) G. Voyatzis, I. Pitas, “Chaotic mixing of digital images and applications to watermarking”, Proceedings of European Conference on Multimedia Applications, vol. 2, 1996, pp. 687-695.
- 5) 田村秀行, “コンピュータ画像処理” オーム社出版局.
- 6) Marcelo J. Weinberger and Gadiel Seroussi, Guillermo Sapiro “The LOCO-I Lossless Image Compression Algorithm: Principles and Standardization into JPEG-LS”, <http://www.hpl.hp.com/loco/HPL-98-193R1.pdf>.